

韓半島에 來襲한 颱風의 確率降雨 및 風速의 時空的 分布 特性

Time and Spatial Distribution of Probabilistic Typhoon Storms and Winds in Korean Peninsula

尹慶惠*·徐承德**
Yoon, Kyung Duck · Suh, Seung Duk

Summary

The objective of this study is to provide with the hydrometeorological and probabilistic characteristics of the storms and winds of typhoons that have been passed through the Korea peninsula during the last twenty-three years since 1961.

The paths and intensities of the typhoons were analyzed. Fifty weather stations were selected and the rainfall and wind data during typhoon periods were collected. Rainfall data were analyzed for the patterns and probabilistic distributions.

The results were presented to describe the areal distributions of probabilistic characteristics. Wind data were also analysed for their probabilistic distributions.

The results obtained from this study can be summarized as follows:

1. The most frequent typhoon path that have passed through the Korean peninsula was type E, which was followed by types CWE, W, WE, and S. The most frequent typhoon intensity was type B, that was followed by A, super A, and C types, respectively.

2. The third quartile typhoon rainfall patterns appear most frequently followed by the second, first, and quartiles, respectively, in Seoul, Pusan, Taegu, Kwangju and Taejon. The single typhoon rainfalls with long rainfall durations tended to show delayed type rainfall patterns predominantly compared to the single rainfalls with short rainfall durations.

3. The most frequent probabilistic distribution for typhoon rainfall event is Pearson type-III, followed by Two-parameter lognormal distribution, and Type-I extremal distribution.

* 大邱工業專門大學

** 慶北大學校 農科大學

기워드：颱風性降雨(風速), 颱風經路(強度), 降雨
波形, 確率分布, 氣象災害, 災害統計, 來襲,
分布函數, 極值函數

4. The most frequent probability distribution model of seashore location was Pearson type-III distribution.

The most frequent probability distribution model of inland location was two parameter lognormal distribution.

5. The most frequent probabilistic distribution for typhoon wind events was Type-I extremal distribution, followed by Two-parameter lognormal distribution, and Normal distribution.

I. 序 論

우리나라는 每年 平均 2~3個의 颱風이 通過하며, 年間 降雨量의 60~70%를 차지하고 있는 雨期의 降雨中에서, 颱風來襲으로 同伴하는 降雨量이 約 40% 程度에 이르고 있어, 水資源의 效率的 移用에 큰 障碍가 되고 있다.

颱風의 影響으로 氣象災害의 約 30%에相當하는 莫大한 人命과 財產上의 被害를 받고 있는 實情이며, 災害統計에 의하면 80~89年 10年間 氣象災害로 입은 被害額은 2兆6千9百 81億원이며 그 가운데, 豪雨, 暴風, 颱風에 의한 被害가 무려 75%에 달한다고 하였다.

颱風으로 因한 災害는, 人爲的으로 根絕시킬 수 없는 不可抗力의 天災要素를 지니고 있으나 減少對策은 세울 수 있는 것이다. 颱風被害對策에서는 颱風의 被害를 최대한 줄일 수 있도록 하는 構造物의 設計等을 考慮해야 할 것이다.

颱風이 갖고 있는 加害因子로는 降雨와 바람이 그 主가 되기 때문에 이의 水文氣象學의 特性을 살펴 봄으로서 適切한 防止對策이 마련될 수 있는 것이다. 따라서 颱風이 韓半島에 來襲하여 影響을 준 期間동안의 降雨 및 바람의 特性을 각 地域別로 時空的 分布를 評혀 이를 選別하여 利用할 수 있다면, 災害豫防에 많은 도움을 줄 것으로 생각된다.

降雨나 바람의 統計的 特性 中에서 重要한 것은 地點別 再現期間別 確率 變量이다. 降雨의 特性은 降雨波形分析等을 檢討함으로서 確

率降雨의 分布型을 把握할 수 있으며, 본 연구의 確率降雨量 및 確率風速의 決定에는 對數正規分布函數, Type-I 極值函數, Pearson type-III 分布函數, 正規分布函數를 適用하였다.^{1,4,5,13)}

本 研究에서는, 韓半島에 來襲한 颱風性 降雨와 颱風의 水文氣象學의 確率分布特性을 分析하기 為하여 1961年 以來의 颱風을 對象으로 그 經路와 強度를 分析하고 全國 測候所의 降雨와 風速資料를 移用하여 降雨의 波形을 紛明하고 確率分布分析을 實施하여 그 結果로부터 空間的 分布特性을 提示함으로서 全國의 颱風에 대한 災害對策의 樹立에 基礎가 되는 資料를 提供하도록 하였다.

II. 資料 및 分析方法

1. 颱風資料

本 研究에 使用된 颱風資料(降雨, 風速)에 對한 觀測地點은 Fig. 1과 같으며 氣象廳 傘下 總 50個 地點을 選定하였고, 1961~1983(6~9月)年까지의 時雨量 및 日最大風速 資料를 使用하고, 이 期間內에 韓半島에 颱風이 來襲하여 影響을 준 期間內의 降雨量 및 日最大風速을 拔萃하기 위하여 1984年 氣象廳에서 發刊한 “韓國 颱風 80年報”를 利用하였다.

Fig. 1은 降雨量 및 風速資料를 觀測한 地點이며, 50個 地點中 海岸과 內陸의 地域區分은 海岸線으로부터 直斷距離 8.5km에 있는 장홍地點을 基準으로 하여 이 基準地點內의 矢단 거리에 있는 地點을 • 으로 表示하여 海岸地域

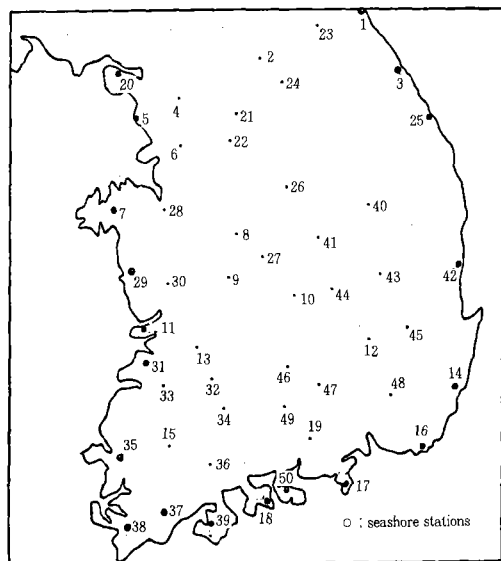


Fig. 1. Location map of weather stations

으로 하였으며 • 으로 表示하지 않은 觀測地點은 內陸地域이다.

降雨의 年數는 11년(3個地點), 15년(2個地點), 16년(4個地點), 17년(1個地點), 18년(1個地點), 16년(3個地點), 17년(1個地點) 18년(1個地點), 20년(1個地點), 23년(10個地點)으로 構成되어 있으며 風速資料에 대한 年數는 11년(32個地點), 15년(2個地點), 23년(10個地點)으로 分布되어 있다.

颱風이 韓半島에 來襲하여 影響을 준 影響期間內에 發生한 降雨를 颱風性 降雨로 命名하였으며 總颱風數 73個의 颱風性 降雨資料系列를 構成하여 基本資料의 集團으로 하였다.

降雨波形分類에는 颱風性 降雨資料系列 각各에 대하여 颱風影響期間의 前後 時間을 基準으로 하였을 때 降雨休止期間이 6時間以內이면 颱風性 單純降雨라 정의하고 이들을 分析對象으로 하였다.

颱風性 降雨의 頻度分析에서는 50個 對象地點에 대한 각 颱風性 降雨資料系列에 대하여 持續時間이 1時間, 2時間, 4時間, 6時間, 12時間, 24時間에 該當하는 颱風性 降雨事象資料에 대한 持續時間別 最大值와, 颱風 影響期

間內의 發生된 風速을 颱風性 風速이라 정의하고, 颱風이 來襲하여 影響을 준 影響期間內의 日最大風速 資料를 年超過值系列로 構成하여 本 分析에 임하였다.

2. 颱風 經路와 強度

Fig. 2는 韓半島에 來襲하여 影響을 준 颱風에 대하여 크게 來襲經路를 5個의 經路로 大別한 것이며, 觀測기간내에 韓半島에 來襲하여 影響을 끼친 颱風에 대하여 來襲經路를 韓半島를 中心으로, 東海形, 西海形, 南海形으로 區分한 후 다음과 같이 5個型의 來襲經路로 細分하였다.^{7,11)}

첫째, E型은 中國大陸 및 韓半島의 南海岸을 上陸하지 않고 東海를 通過하는 型이며 6911號(EL SIE, 69. 9. 16 發生)와 같이 中國大陸을 通過하여 南海岸을 上陸하지 않고 東海로 빠져나간 颱風과 6807號(POLLY, 68. 8. 3 發生) 및 7408號(GILDA, 74. 6. 26 發生)와 같이 南部海岸線을 약간 스치면서 東海로 빠져 나간 颱風도 進行한 經路를 勘案하여 E型

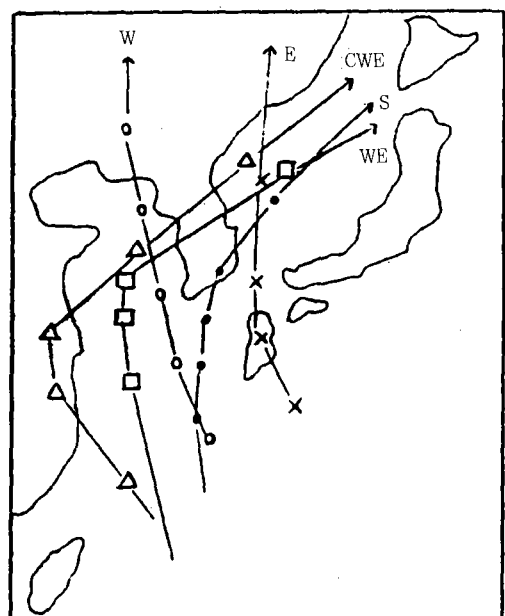


Fig. 2. Track types of typhoon

에 包含시켰다.

둘째, S型은 經度 $126.2^{\circ} \sim 129.3^{\circ}$ 的 範圍에 있는 韓半島의 南海岸으로 上陸하여 東海로 빠져 나간 型이다.

세째, W型은 西海를 通過하면서 韓半島의 西海岸에는 上陸하지 않고 北上하는 型으로서 中國大陸에 進入한 位置는 緯度 $38.2^{\circ} \sim 41.0^{\circ}$, 經度 $118.3^{\circ} \sim 125.5^{\circ}$ 的 範圍를 갖고 進入하는 型으로서 6615號(WINNINE, 66. 8. 21 發生)와 8110號(OGDEN, 81. 7. 27 發生)와 같이 韓半島의 南海岸을 스치면서 西海로 빠져나간 型과 6710號(DOT, 67. 7. 21 發生)와 7303號(BILLIE, 73. 7. 11 發生)는 中國 산동 반도를 약간 스치면서 라오뚱만으로 進入한 型 그리고 西海上 즉 緯度 37.3° , 經度 124.0° 에서 消滅한 7411號(JEAN, 74. 7. 15 發生)型과 8211號(CECIL, 82. 8. 4 發生)의 경우에도 進行한 進路를 감안하여 W형 經路에 包含시켰다.

네째, WE型은 西海로 北上하다가 西海岸으로 上陸 또는 東海로 進出한 型으로서 西海岸에 進入時의 位置는 緯度 $35.0^{\circ} \sim 38.5^{\circ}$ 的 範圍와 經度 $125.5^{\circ} \sim 127.0^{\circ}$ 的 範圍를 가지며 東海岸으로 進出時의 範圍는 緯度 $37.0^{\circ} \sim 39.0^{\circ}$, 經度 $127.5^{\circ} \sim 129.0^{\circ}$ 的 範圍를 가지며 특히 7011號는 西海岸으로 進入時의 位置가 緯度 38.0° , 經度 125.8° 를 가지면서 進入하여 오호츠크해로 進出하였으나 進行한 經路를勘案하여 WE型 經路에 包含시켰다.

다섯째, CWE型은 中國大陸을 經由하여 西海를 거쳐 西海岸에 上陸 또는 韓半島를 通過하는 型으로서 中國 및 韓半島의 西海岸에 進入 및 韓半島의 東海岸으로 進出時의 位置의 範圍基準을 다음과 같이 設定하였다.

中國大陸의 進入位置는 緯度 $22.7^{\circ} \sim 31.7^{\circ}$, 經度, $115.0^{\circ} \sim 122.0^{\circ}$ 이며, 西海岸으로 進出時의 位置는 緯度 $31.5^{\circ} \sim 37.5^{\circ}$, 經度 $119.0^{\circ} \sim 122.5^{\circ}$ 의 範圍와 韓半島의 西海岸에 進入時는 緯度 $34.2^{\circ} \sim 39.0^{\circ}$, 經度 $125.0^{\circ} \sim 129.0^{\circ}$ 이며,

東海로 進出時는 緯度 $34.5^{\circ} \sim 40.0^{\circ}$, 經度 $127.0^{\circ} \sim 129.5^{\circ}$ 의 範圍條件을 갖는 型이며, 7004號(RUBY, 70. 7. 12 發生)와 같이 中國大陸을 경유하여 韓半島의 南海岸을 약간 스치면서 通過한 颱風과 6409號(FLISSIE, 64. 7. 24 發生)와 7615號(DOT, 76. 8. 19 發生)와 같이 中國大陸의 海岸線을 약간 스치면서 通過하여 西海岸에 上陸한 型도 進行한 經路를勘案하여 CWE型 經路에 包含시켰다.

現在, 우리나라에서는 中心氣壓과 中心最大風速을 基準으로 하여 颱風의 強度를 4階級으로 區分하여 使用하고 있는데 本研究에서는 中心氣壓에 의한 方法을 利用하여 颱風強度를 分類하였다.¹²⁾

3. 降雨 波形

本研究에서는 Huff의 4分期分類法을 使用하였으며, 分析의 基本單位時間을 60分으로 하였다.

4. 確率分布 模型

本 分布에서 颱風性 降雨資料에 使用한 確率分布模型은 Log-normal分布, Type-I Extremeal分布, Pearson type-III分布이며, 颱風性 風速에 使用된 確率分布模型은 Normal分布, Log-normal分布 Type-I Extremeal分布型이다. 이들에 대한 理論的 確率分布 函數들에 對한 式의 形態와 Parameter 推定法을 要約하면 Table-1과 같다.

使用된 4가지의 理論的 分布函數에 對하여 각 觀測資料의 適合性 與否를 檢討하였는데 이들 觀測資料에 대한 Parameter 推定方法은 Moment法을 利用하여 實施하였다.

觀測된 水文資料群(颱風性降雨, 颱風性風速)에 대한 각 관측지점별 確率分布型의 檢定은 Kolmogorov-Smirnov方法으로 分析하였으며, 理論的 確率密度函數와 標本資料의 累加 確率分布와의 最大偏差를 求하여 이 最大偏差(D_n)에 對하여 有意水準 $X = 0.05$ 에서 기

Table -1. Summary of theoretical probability distribution functions

Classification	Normal	Log-Normal(two-parameter)	Type-I Extremal	Pearson type-III
P. D. F.	$f(x) = \frac{1}{\sigma\sqrt{2\pi}} \cdot e^{-\frac{1}{2}(\frac{x-\mu}{\sigma})^2}$	$f(x) = \frac{1}{\sigma y \cdot x \cdot \sqrt{2\pi}} \cdot \exp\left[-\frac{1}{2}\left(\frac{\ln x - \mu_y}{\sigma_y}\right)^2\right]$	$f(x) = \frac{1}{\alpha} \cdot \exp[-x - \exp(-y)]$ $y = (x - \beta)/\alpha$	$f(x) = \frac{1}{\alpha \Gamma(\beta)} \left(\frac{x - \gamma}{\alpha}\right)^{\beta-1} \cdot \exp\left(-\frac{x - \gamma}{\alpha}\right)$
C. D. F.	$F(x) = \frac{1}{\sigma\sqrt{2\pi}} \int_{-\infty}^x e^{-\frac{1}{2}(\frac{x-\mu}{\sigma})^2} \cdot dx$	$F(x) = \int_0^x f(x) \cdot dx$	$F(y) = e^{-e^{-y}}$	$F(x) = \int_{\gamma}^x f(x) \cdot dx \quad (\alpha > 0)$
Variable Range	$-\infty < x < \infty$	$0 \leq x < \infty$	$-\infty < x < \infty$	$\gamma \leq x < \infty \quad (\alpha > 0)$ $-\infty < x \leq \gamma \quad (\alpha < 0)$
Parameters	μ : mean σ : standard deviation	μ_y : mean of $\ln x$ σ_y : standard deviation	$\alpha = 0.7797\sigma$ $\beta = \mu - 0.450\sigma$	α : Shape parameter β : Scale parameter γ : Lower boundary
Parameter estimation	Moment method	Moment method	Moment method	Moment method
Mean	μ	μ_y	$\mu = \beta + 0.5772\alpha$	$\mu = \alpha \cdot \beta + \gamma$
Variance	σ^2	σ_y^2	$\sigma^2 = (\frac{\pi}{\sqrt{6}} \cdot \alpha)^2$	$\sigma^2 = \alpha^2 \cdot \beta$
Skewness	0	$3Cv + Cv^3$ Cv : coefficient of variation	1.1396	$\frac{2\alpha}{\sigma}$

각되지 않은 D_n 값 중에서最少 D_n 값을 그地點에對한最適分布型으로選定하였다.

採擇된各地點別資料集團에 대하여確率年別颱風性確率降雨量 및颱風性確率風速을算定함에 있어서는頻度係數法에 의한方法을利用하였다.^{8,10)}

는來襲颱風의經路別頻度는颱風經路에 관계없이 대체로 8월에最大發生頻度를 나타내었으며, CWE型과 E型이他經路에比하여比較的韓半島에 많이來襲하는經路型으로分析되었다.

觀測期間內에韓半島에來襲한73個의颱風

III. 結果 및 考察

1. 颱風經路와 強度

1961年6月부터 1983年9月까지韓半島에來襲하여影響을 끼친總颱風의數는73個이며, 颱風經路 범위안에該當하는53個의颱風에서各經路가 차지하는發生占有率은E型(34.0%), CWE型(28.3%), W型(17.0%), WE型(13.2%), S型(7.5%)順으로發生하였으며, Table-2에서보는바와같이月別에따

Table -2. Frequency of attacking typhoon with respect to path type
(period : 1961. 6. 1 ~ 1983. 9. 30)

Month	Path Types						Total
	E	S	W	WE	CWE	Others	
June	2	1	0	0	0	2	5
July	4	0	4	2	6	6	22
August	7	3	5	5	5	4	29
September	5	0	0	0	4	7	16
Others						1	1
Total	18	4	9	7	15	20	73

을 發生한 日을 基準으로 하여, 颱風의 中心 氣壓에 依據하여 分析하여 본 結果, B級이 25 個(34.2%), A級이 19個(26.0%), super A級이 18個(24.7%), C級이 11個(15.1%)의 順으로 나타났으며, 颱風強度가 커질수록 颱風이 最初로 發生한 地點부터 韓半島에 影響을 준 最初日까지의 所要日數가 比較的 증가하는 傾向이 있는 것으로 料된다.

2. 降雨 波形

가. 降雨事象의 區分

降雨波形의 分類 및 來襲經路에 따른 5大都市別 代表無次元曲線의 誘導에 使用된 颱風性 降雨事象은 서울, 釜山, 大邱, 光州는 6123號를 除外한 72個의 獨立된 颱風番號에 該當하는 颱風事象과 大田은 觀測期間이 1969. 6. 1日부터 83. 9. 30일까지인 關係로 總 47個의 颱風事象으로서, 降雨量이 30mm 以上인 總 132個의 颱風性 降雨事象의 資料를 選定하여 利用하였으며, 來襲經路別 颱風性 降雨와 持續時間과의 相關性을 紛明하기 위한 것으로는 總降雨量이 0.1mm以上인 颱風性 單純降雨事象도 포함시켰다.

나. 降雨波形 分類

各 分期型別 5대 都市의 平均占有率은 第 3分期型(26.6%), 第 1分期型(21.2%), 第 4分期型(16.9%)의 順位로 發生하였으며 各 都市別 最大占有率을 살펴보면, 서울, 釜山, 大邱, 大田에서는 各各 第 3分期型에서 나타났으나, 光州는 他 都市에 比하여 先行된 第 2分期型에서 發生하였다.

颱風性 降雨들의 中央值인 92mm를 基準으로, 92mm以上인 것과 92mm以下인 것으로 나눈 후 各 分期別 出現頻度의 百分率를 살펴보면, 92mm以下인 颱風性 降雨에서 서울, 光州는 第 3分期型에서 最大出現頻度를 나타내었다.

한편, 92mm 以上인 颱風性 降雨에서, 서울, 大邱는 第 3分期型에서 最大發生頻度를 보인

반면에 釜山, 大田, 光州는 第 2分期型에서 가장 優勢하게 나타났다.

颱風性 降雨의 持續時間은 調査한 후 中央值를 擇하여 이를 基準으로 하여 持續期間이 中央值 以下에서 發生한 颱風性 降雨 集團과 持續期間이 中央值 以上에서 發生한 颱風性 降雨集團으로 나누어 持續時間의 長短에 따른 颱風性 降雨의 波形을 살펴보면, 中央值 以下를 對象으로 할 경우 서울과 光州는 第 2分期型에서 優勢하였고 釜山과 大田은 第 3分期型에서 最大出現頻度가 나타났으며, 大邱는 第 1分期型에서 發生하였다.

中央值 以上인 경우에는 서울, 釜山, 大邱, 大田에서 共히 第 3分期型에서 優勢하였으나, 光州는 第 2分期型에서 優勢하였다. 위의 結果를 土臺로 判斷해 보면 持續期間이 中央值 以下의 範圍에서 發生한 颱風性 降雨는 中央值 以上에서 發生한 颱風性 降雨보다 좀 더 先行된 分期型에서 降雨波形이 나타남을 알 수 있었다.

다. 降雨量과 持續時間

Fig. 3은 5大都市의 颱風性 降雨量과 持續時間과의 關係를 나타낸 것이다, Table -3은 5大都市 및 來襲經路別에 따른 颱風性 降雨量과 持續時間과의 關係式 및 相關係數를 要約한 것이다.

5大都市에 對하여 颱風性 降雨量과 持續時間과의 相關性은 大田이 他都市에 比하여 相關性이 가장 높았으며, 光州가 相關係數가 가장 낮았으나 대체로 持續時間과 颱風性 降雨量과의 關係는 高度의 有意的인 相關性이 있는 것으로 再確認되었다.

라. 無次元 累加雨量曲線

降雨量의 時間的 分布는 水文曲線의 合成과 尖頭洪水量을 求하는데 매우 중요한 節次이며, 降雨의 時間的 分布를 나타내 주는 雨量柱狀圖(rainfall hyetograph)는 無次元 形態로서 나타낼 수 있다.

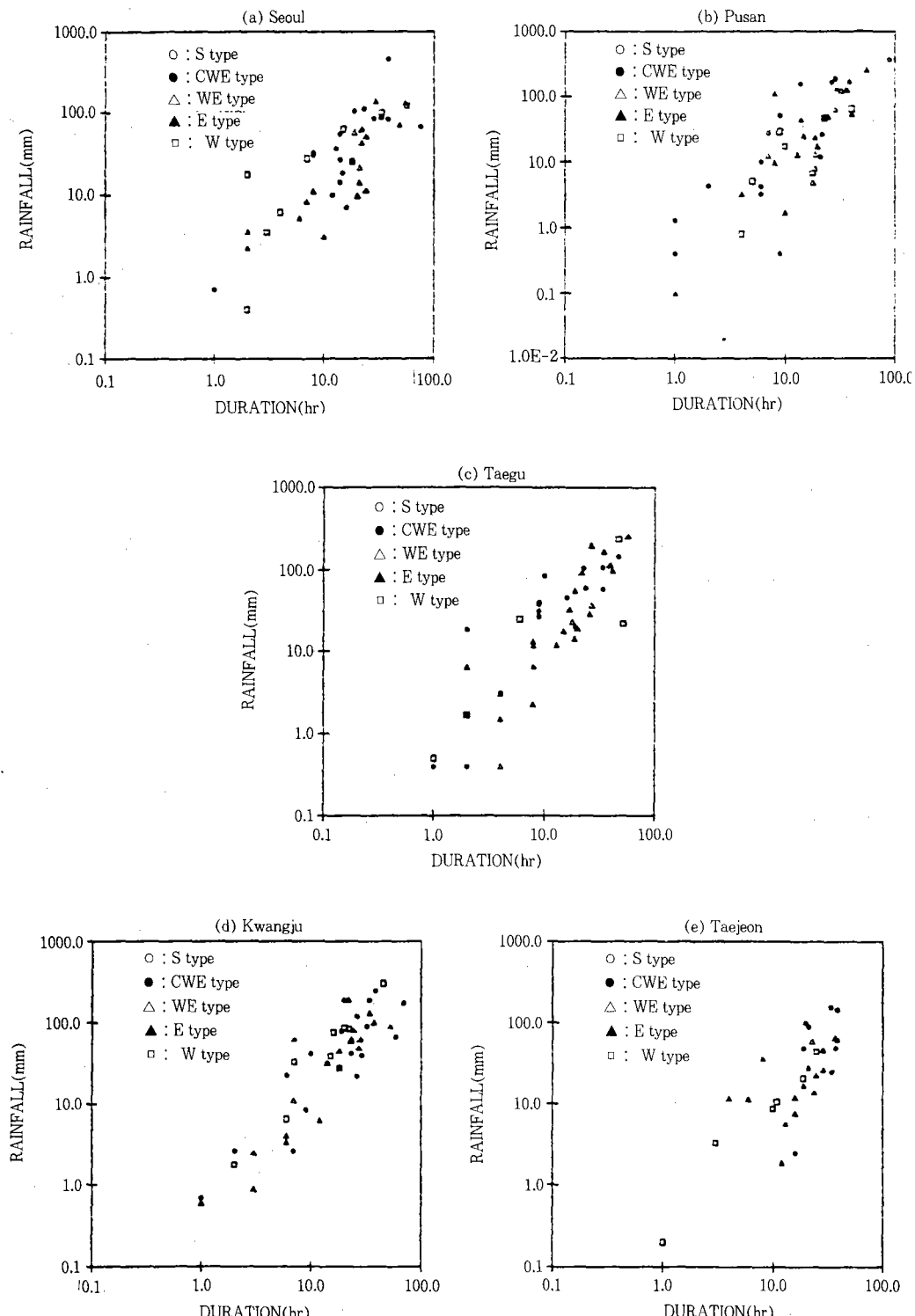


Fig. 3. Relation between typhoon rainfall and duration in five cities

Table -3. Regression equations between typhoon rainfall and duration

(a) Five stations

(b) Seoul

Stations	Regression equations	Correlation coefficient	Path types	Regression equations	Correlation coefficient
Seoul (44)	$X_i = 0.788 + 1.1784D_i$	$r = 0.822$	S (3)	$X_i = -0.196 + 1.326D_i$	$r = 0.990$
Pusan (46)	$X_i = -0.309 + 1.423D_i$	$r = 0.803$	CWE (15)	$X_i = 0.413 + 0.973D_i$	$r = 0.556$
Taegu (44)	$X_i = -0.1881 + 1.3775D_i$	$r = 0.862$	WE (6)	$X_i = 0.705 + 0.755D_i$	$r = 0.422$
Kwangju(48)	$X_i = 0.1011 + 1.0105D_i$	$r = 0.689$	E (10)	$X_i = 0.043 + 0.946D_i$	$r = 0.830$
Taejeon (30)	$X_i = -0.1910 + 1.4324D_i$	$r = 0.895$	W (8)	$X_i = -0.143 + 1.406D_i$	$r = 0.837$

D : Duration(hr), $D_i = \log(D_u)$

X : Typhoon Rainfall(mm), $X_i = \log(T_r)$

() : single rainfall events

(c) Pusan

(d) Taegu

Path types	Regression equations	Correlation coefficient	Path types	Regression equations	Correlation coefficient
S (4)	$X_i = 0.710 + 0.893D_i$	$r = 0.930$	S (3)	$X_i = -0.475 + 0.962D_i$	$r = 0.835$
CWE (12)	$X_i = -0.231 + 1.364D_i$	$r = 0.757$	CWE (13)	$X_i = -0.124 + 1.552D_i$	$r = 0.831$
WE (6)	$X_i = 0.023 + 1.248D_i$	$r = 0.814$	WE (6)	$X_i = -0.898 + 1.765D_i$	$r = 0.880$
E (16)	$X_i = -0.717 + 1.753D_i$	$r = 0.883$	E (17)	$X_i = -0.301 + 1.466D_i$	$r = 0.886$
W (8)	$X_i = -0.393 + 1.423D_i$	$r = 0.783$	W (5)	$X_i = -0.060 + 1.196D_i$	$r = 0.887$

(e) Kwangju

(f) Taejeon

Path types	Regression equations	Correlation coefficient	Path types	Regression equations	Correlation coefficient
S (4)	$X_i = -1.116 + 2.133D_i$	$r = 0.606$	S (1)		
CWE (15)	$X_i = (-8.85E-03) + 1.265D_i$	$r = 0.887$	CWE (7)	$X_i = -0.631 + 1.614D_i$	$r = 0.411$
WE (6)	$X_i = 1.670 + 0.113D_i$	$r = 0.338$	WE (4)	$X_i = -3.188 + 3.290D_i$	$r = 0.860$
E (13)	$X_i = -0.535 + 1.687D_i$	$r = 0.945$	E (12)	$X_i = 0.499 + 0.678D_i$	$r = 0.592$
W (10)	$X_i = -0.197 + 1.587D_i$	$r = 0.947$	W (6)	$X_i = -0.523 + 1.522D_i$	$r = 0.978$

颱風性 降雨量의 時間分布型을 表示하는 無次元 平均累加曲線을 來襲經路別로 比較해 본結果, 同一한 來襲經路에 따른 颱風性 降雨에 있어서도 몇 個의 相異한 時間分布型으로 나타남을 알 수 있으며, 釜山의 W型, E型, 大邱에서는 E型에서 대체로 後半期型 暴雨形態가 나타나고 있으나, 그外 다른 經路에서는 뚜렷한 判斷을 내리기가 어려운 점이 있었다.

Fig. 4는 5大都市中 代表로 大邱에 대한 來襲颱風의 經路에 따른 無次元 時間軸에 對한 颱風性 降雨量의 代表無次元 平均累加雨量曲線을 나타낸 것이다.

3. 颱風性 降雨의 頻度分析

가. 確率分布 模型의 選定

持續時間에 對한 確率分布型別 K-S檢定結果에서 300個의 颱風性 降雨事象에서 棄却된 數는 25個이며, 持續時間別 最多發生 確率分布模型은 Pearson Type-III 分布로서 가장 높게 나타났으며, 2變數對數正規分布, Type-I 極值分布順으로 發生하였다.

海岸地域 및 內陸地域에 對하여 구분하여 살펴보면, 海岸地域에서는 Pearson type-III 分布, 2變數對數正規分布, Type-I 極值分布順

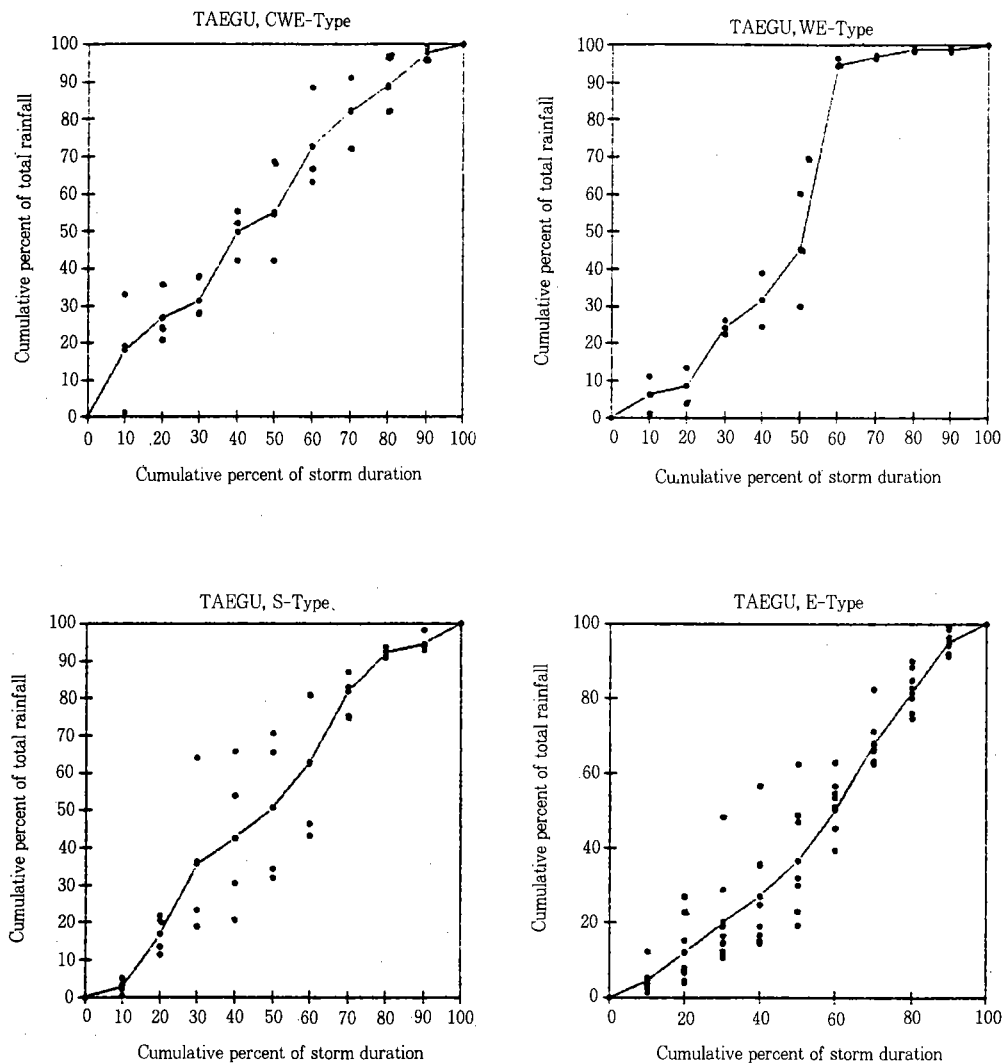


Fig. 4. Dimensionless mass curves by typhoon path in Taegu

으로 나타났으며, 內陸地域에서는 2變數對數正規分布가 가장 높게 나타났으며 그 다음이 Pearson type-III 分布, Type-I 極值分布順으로 나타났다.

Table-4는 全國의 50個 地點에 對한 持續時間別 颱風性 降雨資料集團에 對한 2變數對數正規分布, Type-I 極值分布, Pearson type-III 分布模型의 最適度 檢定 結果를 要約한 것이다.

나. 地點別 持續時間別 確率降雨

持續時間에 따른 颱風性 最大確率降雨量이 發生한 地點을 살펴보면 1時間인 경우에는 再現時間에 關係없이 光州에서 發生하였고, 2hr 인 경우에는 釜山地點에서 나타났으며, 4時間인 경우에는 光州地點, 6時間, 12時間, 24時間인 경우에는 江陵地點에서 나타났다.

50個 地點에 對한 持續時間 및 再現期間에 따른 颱風性 確率降雨量을 相互比較하여 보면 대체로 江陵, 서울, 大邱, 光州, 大田, 釜山地點이 他 地點에 比하여 颱風性 確率降雨量은

Table-4. The results of kolmogorov-Smirnov test for probability distribution functions for the typhoon rainfall

Serial no.	Station	Probability Distribution Function					
		1hr	2hr	4hr	6hr	12hr	24hr
1	Sokcho	T2LD	T2LD	T1ED	PT3D	T2LD	T2LD
2	Chunchon	T2LD	PT3D	T2LD	PT3D	PT3D	PT3D
3	Kangnung	T2LD	PT3D	T2LD	PT3D	T2LD	T2LD
4	Seoul	T2LD	T2LD	T2LD	T2LD	T2LD	T2LD
5	Inchon	T2LD	PT3D	PT3D	T1ED	PT3D	T1ED
6	Suwon	T2LD	T2LD	T2LD	T2LD	T2LD	T2LD
7	Susan	T2LD	T2LD	PT3D	T2LD	T1ED	PT3D
8	Chongju	T2LD	PT3D	T2LD	T2LD	T2LD	PT3D
9	Taejon	PT3D	T1ED	PT3D	T1ED	PT3D	PT3D
10	Chupungnyong	T2LD	T2LD	PT3D	T2LD	T2LD	T2LD
11	Kunsan	T1ED	PT3D	T2LD	PT3D	PT3D	PT3D
12	Taegu	T2LD	T2LD	T1ED	PT3D	PT3D	PT3D
13	Chonju	T2LD	PT3D	PT3D	T2LD	PT3D	PT3D
14	Ulsan	PT3D	PT3D	T2LD	T2LD	T2LD	PT3D
15	Kwangju	PT3D	PT3D	PT3D	PT3D	T2LD	T2LD
16	Pusan	T2LD	PT3D	PT3D	PT3D	PT3D	PT3D
17	Chungmu	PT3D	T2LD	T2LD	T2LD	T2LD	PT3D
18	Yeosu	T1ED	PT3D	PT3D	PT3D	PT3D	T1ED
19	Chinju	T2LD	T2LD	T2LD	PT3D	PT3D	T2LD
20	Kanghwa	T2LD	T2LD	T2LD	T2LD	T2LD	PT3D
21	Yangpyeong	T2LD	T1ED	T1ED	T2LD	PT3D	PT3D
22	Inchon	PT3D	T2LD	T1ED	T2LD	PT3D	T2LD
23	Inje	T2LD	T1ED	PT3D	T1ED	PT3D	PT3D
24	Hongchon	T2LD	T2LD	PT3D	PT3D	T1ED	T1ED
25	Samchok	T2LD	T2LD	PT3D	T2LD	PT3D	T1ED

* Remark, T2LD : two-parameter lognormal distribution

T1ED : type-I extremal distribution

PT3D : pearson type-III distribution

대체로 크게 나타나는 경향이 있었다. 이는 각 觀測對象地點別 觀測記錄年限이 서로 相異한 觀測期間에 基因된 것으로 料된다.

다. 確率降雨의 空間的分布

颱風性 確率降雨量圖는 우리나라 全國을 對象으로 韓半島에 來襲하여 影響을 준 期間內의 颱風性 降雨值를 頻度解析하여 그 基本資料로 하였다.

颱風性 確率降雨量圖의 作成에 利用된 颱風性 降雨의 觀測地點數는 氣象廳 傘下 測候所

Serial no.	Station	Probability Distribution Function					
		1hr	2hr	4hr	6hr	12hr	24hr
26	Chungju	T2LD	PT3D	T2LD	T1ED	T2LD	T2LD
27	Poju	PT3D	PT3D	PT3D	PT3D	PT3D	PT3D
28	Onyang	T2LD	PT3D	PT3D	T2LD	PT3D	T1ED
29	Taechon	T2LD	PT3D	PT3D	PT3D	T2LD	PT3D
30	Puyeo	PT3D	PT3D	PT3D	PT3D	PT3D	PT3D
31	Puan	PT3D	PT3D	PT3D	T2LD	PT3D	PT3D
32	Imshil	PT3D	T1ED	T2LD	T2LD	PT3D	T1ED
33	Chongju	T2LD	T1ED	T1ED	PT3D	PT3D	PT3D
34	Namwon	T1ED	T2LD	T1ED	PT3D	T2LD	T2LD
35	Hamgyeong	PT3D	PT3D	PT3D	PT3D	T1ED	PT3D
36	Sungju	T2LD	PT3D	PT3D	PT3D	T1ED	PT3D
37	Changhung	PT3D	T1ED	PT3D	T1ED	PT3D	T1ED
38	Haenam	T2LD	T1ED	PT3D	T2LD	T1ED	PT3D
39	Kohung	T2LD	PT3D	T1ED	PT3D	PT3D	T2LD
40	Yongju	T2LD	T1ED	PT3D	PT3D	PT3D	T1ED
41	Chomchon	T2LD	T1ED	T2LD	T1ED	T2LD	T1ED
42	Yongdok	T2LD	T2LD	PT3D	T1ED	T1ED	PT3D
43	Usong	T2LD	PT3D	T2LD	T2LD	T2LD	T2LD
44	Sonsan	T2LD	T1ED	PT3D	PT3D	PT3D	T2LD
45	Yongchon	T2LD	PT3D	PT3D	PT3D	PT3D	PT3D
46	Kochang	T2LD	T2LD	T2LD	T2LD	PT3D	T2LD
47	Hapchon	T2LD	PT3D	T2LD	T2LD	T2LD	PT3D
48	Miryang	T2LD	T2LD	PT3D	T2LD	PT3D	PT3D
49	Sanchong	PT3D	PT3D	T2LD	T2LD	T1ED	PT3D
50	Namhae	T2LD	PT3D	T2LD	T2LD	PT3D	T2LD

및 觀測所의 50個의 地點이다. 이 50個 地點의 各 持續時間別 資料가 颱風性 確率降雨量圖의 作成에 利用되었으며 選擇된 持續時間 및 再現期間은 持續期間이 1hr, 2hr, 4hr, 6hr, 12hr, 24hr이고 再現期間은 2年, 5年, 10年, 20年, 50年, 100年, 200年으로서 總 42매의 颱風性 確率降雨量圖를 作成하였으며, 그 가운데 12時間 持續時間 颱風性降雨의 200年頻度에 대한 것을 示範的으로 紹介하면 Fig. 5와 같다.

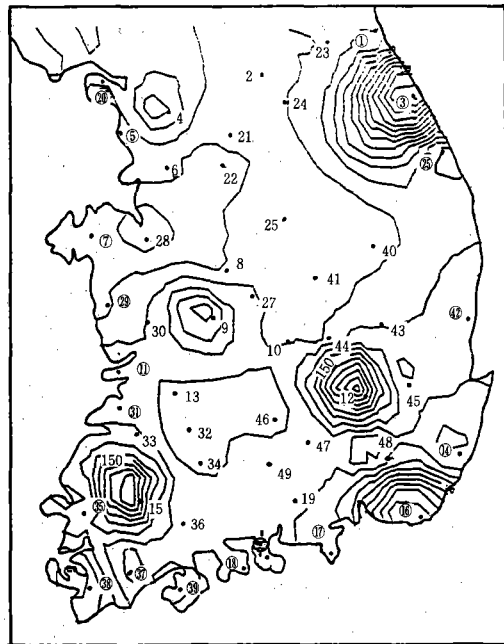


Fig. 5. 200-year return period with 12-hour duration typhoon rainfall (mm)

4. 颱風性 暴風의 頻度分析

가) 確率分布 模型의 選定

Table-5은 全國 50個 地點에 대한 颱風影響期間內에서의 日 最大風速資料에 對한 確率分布模型인 正規分布, 對數正規分布, Type-I 極值分布模型의 最適度의 檢定結果를 要約하였다.

50個의 地點中에서 3個 地點을 除外한 47個 地點에서 受諾되고 3個 地點에서 棄却되었으며, 最多確率分布模型은 Type-1 極值分布이며, 正規分布나 2變數正規分布에 比하여 壓倒的으로 많이 나타남을 알 수 있었다.

海岸地域과 內陸地域으로 區分하여 살펴보면, 海岸地域에서는 Type-1 極值分布, 內陸地域에서는 海岸地域과 같이 Type-1 極值分布에서 가장 높게 나타났으며, 2變數對數正規分布, 正規分布順으로 나타났다.

海岸地域과 內陸地域을 相互比較하여 보면 海岸地域과 內陸地域 共히 Type-1 極值分布

가 2變數對數正規分布나 正規分布에 比하여 支配的으로 影響을 끼치고 있음을 알 수 있었다.

나. 地點別 確率風速

韓半島에 來襲하여 影響을 준 影響期間 동안의 最大日風速에 대한 再現期間(2, 5, 10, 50, 100, 200年)別 颱風性 風速을 살펴보면, 再現期間에 관계없이 颱風性 風速의 크기順位는 대체로 여수, 부산, 군산, 충무, 울산, 인천順으로 發生하였으며, 海岸地域이 內陸地域에 比하여 颱風性 風速이 比較的 크게 나타남을 알 수 있다.

다. 確率風速의 空間的 分布

颱風性 確率風速圖의 作成에 利用된 颱風性 風速觀測地點收는 氣象廳 傘下 觀測所 및 觀測所의 50個 地點이며 이들 50個 地點의 來襲颱風影響期間內의 日 最大風速資料가 颱風性 確率風速圖의 作成에 利用되었으며 上記 7個의 頻度年 가운데 200年 頻度의 確率風速을 示範的으로 紹介하면 Fig. 6과 같다.

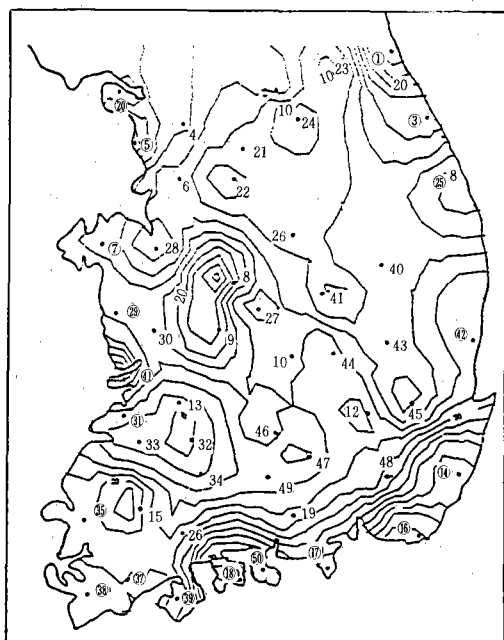


Fig. 6. 200-year return period typhoon wind speed (m/sec)

Table-5. The results of kolmogorov-smirnov test for each probability distribution type of the typhoon wind

Stations	Probability Distribution Function	Stations	Probability Distribution Function	Stations	Probability Distribution Function
Sokcho	T1ED	Yeosu	T1ED	Hampyǒng	T1ED
Chunchon	T1ED	Chinju	T1ED	Sǔngju	T1ED
Kangnung	T1ED	Kanghwa	T1ED	Changhǔng	NORM
Seoul	T1ED	Yangpyo.	T1ED	Haenam	T1ED
Inchon	T1ED	Inchon	NORM	Kohǔng	T2LD
Suwon	T1ED	Inje	T2LD	Yǒngju	T1ED
Sōsan	T1ED	Hongchon	T1ED	Chǒmchon	T2LD
Chǒngju	T1ED	Samchǒk	NORM	Yǒngdǒk	NORM
Taejǒn	T1ED	Chungju	T2LD	Üisǒng	T1ED
Chupung.	T1ED	Poǔn	T1ED	Sǒnsan	T1ED
Kunsan	T1ED	Onyang	T1ED	Yǒngchǒn	T1ED
Taegu	T1ED	Taechon	T1ED	Kǒchang	T1ED
chǒnju	T2LD	Puyǒ	T1ED	Hapchon	T1ED
Ulsan	T1ED	Puan	T2LD	Miryang	T1ED
Kwangju	T1ED	Imsill	T2LD	Sanchǒn	T1ED
Pusan	T1ED	Chongǔp	NORM	Namhae	T1ED
Chungmu	NORM	Namwon	T2LD		

* T2LD : two-parameter lognormal distribution

T1ED : type-I extremal distribution

NORM : normal distribution

IV. 要約 및 結論

韓半島에 來襲한 颱風性 降雨 및 風速의 水文氣象學의 確率分布特性을 分析하기 위하여 1961年 以來의 颱風을 對象으로 그 經路와 強度를 分析하고 全國 觀測所의 降雨와 風速 資料를 利用하여 降雨의 波形을 紛明하고 確率 distribution特性을 分析하여 다음과 같은 結論을 얻었다.

1. 韓半島에 來襲한 颱風의 各 經路別 發生占有率은 E型(34.0%), CWE型(28.3%), W型(17.0%), WE型(13.2%), S型(7.5%)順으로 나타났고 來襲颱風의 等級別 發生占有率은 B級(34.2%), A級(26.0%), super A級(24.7%) C級(15.1%)順으로 나타났다.

2. 5大 都市地點의 全 颱風性 降雨波形의

分期別 優先 順位는 第 3分期(35.3%), 第 2分期(26.6%), 第 1分期(21.2%), 第 4分期(16.9%)順으로 나타났으며 持續時間이 긴 颱風性 降雨는 持續時間이 짧은 颱風性 降雨에 比하여 後半期型 出現頻度가 높았다.

3. 颱風性 降雨事象에 대한 最適確率分布模型은 Pearson type-III 分布이며 그 다음이 2變數對數正規分布, Type-I 極值分布順으로 나타났다.

4. 海岸地域에서는 Pearson type-III 分布가 最適確率分布模型으로 나타났으며, 內陸地域에서는 2變數對數規定期分布에서 나타났다.

5. 颱風性 暴風事象에 대한 最適確率分布模型으로는 type-I 極值分布이며, 2變數對數規定期分布, 正規分布順으로 나타났다.

參 考 文 獻

1. 建設部, 1972, 水害統計總總覽 (1916~1971).
2. 建設部 漢江洪水 統制所, 1986, 洛東江 洪水豫警報 Program 開發 最終 報告書, pp. 94-108.
3. 建設部, 1988, 韓國確率降雨量圖의 作成, 水資源管理技法開發研究調查報告書, 2, pp. 69-93.
4. 建設部, 1988, 災害年報.
5. 金鎮冕, 1972, 韓國에 影響을 미친 颱風調査, 韓國氣象學會, 8(1).
6. 徐承德, 1965, 暴雨의 時間的 分布에 關한 考察, 韓國農工學會誌, 7(2), 792-797.
7. 柳熙正, 朴浚一, 李培浩, 1983, 韓半島에 來襲한 颱風의 頻度 및 特性, 韓國農工學會誌, 16(4), 253-257.
8. 尹龍男, 1986, 工業水文學, 清文閣, pp. 42-77, pp. 420-480, pp. 495-577.
9. 李根厚, 1984, 暴雨의 時間的 分布에 關한 研究, 서울대 博士論文, 23-26.
10. 李元煥, 1987, 韓國 確率 降雨量圖 作成을 爲한 水文解析 技法 開發, 韓國水文學會誌, 290(2), 139-150.
11. 鄭成鎬, 1977, 颱風經路에 따른 韓半島의 降水分布의 特性, 氣象學會誌, 13(1), 31-37.
12. 中央氣象臺, 1984, 韓國 颱風 80年報.
13. 韓國水資源公社, 1991, 물의 科學.
14. Byung Kon Lee, Statistical and Synoptic Studies of Heavy Rain in Korea, Geographical Reports of Tokyo Metropolitan University No. 16, pp. 12-31.
15. Frank, W. M., 1979, Structure and energetics of the tropical Cyclone, I, Storm structure. Mon. Wea. Rev., 105, 1119-1134.
16. Huff, F. A., 1967, Time distribution of rainfall in heavy storms, water resour. Res. 3(4), pp. 1007-1019.
17. Huff, F. A., 1970, Spatial distribution of rainfall rates, WRR, 6(1), 254-260.
18. Kunio Tomosugi, 1980, A Study on Statistical Characteristics of Time Distribution of Areal Aerage Rainfall, 京大防災研究所年報, 第 23號 B-2 pp. 133-155.
19. Naruhito Shiraishi, 1985, Strong Wind Property due to Typhoon in Japan, 京大防災研究所年報, 第 28號 B-1.
20. Obsborn, H. B. etal, 1974, Stochastic model of spatial and temporal distribution of thunderstorm rainfall. USDA Misc. Publ. 1275, 211-231.
21. Richard A. Anthes, 1982, Tropical Cyclones Their Evolution; Structure and Effects, American Metrological Society, vol. 19, No. 41, pp. 11-16.
22. Park, S. W., 1983..6, Rainfall Charateristic and Their Relation to Splash Erosion, American Society of Agricultural Engineers. pp. 802.